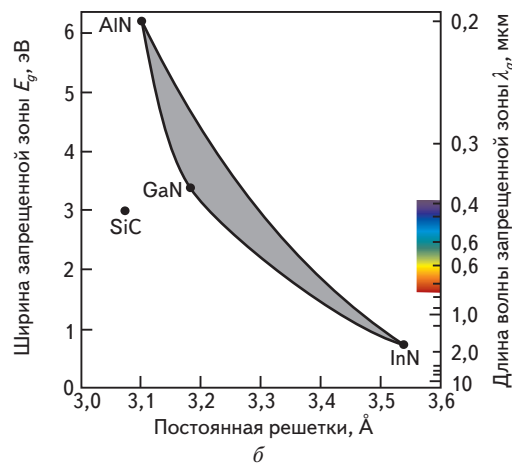


a



б

Рис. 16.7. Ширины и длины волн запрещенной зоны и постоянные решетки для Si, Ge, SiC и 12 двухкомпонентных соединений $A^{III}B^V$. Сплошные и штриховые линии соответствуют прямозонным и непрямозонным полупроводникам. Один и тот же материал может быть прямозонным или непрямозонным в зависимости от соотношения компонентов. Трехкомпонентные материалы представлены линиями, соединяющими два двухкомпонентных материала. Четырехкомпонентным материалам соответствуют участки поверхности, образованные их двухкомпонентными составляющими:

а — $In_{1-x}Ga_xAs_{1-y}P_y$, представлен участком, окрашенным в светло-серый цвет, вершины его границы представляют InP , $InAs$, $GaAs$ и GaP . Участок, изображающий $(Al_xGa_{1-x})In_{1-y}P_y$, окрашен в темно-серый цвет и имеет вершины, представляющие AlP , InP и GaP . Оба являются важными четырехкомпонентными соединениями для фотоники, первый — в ближнем ИК, а второй — в видимом диапазоне. $Al_xGa_{1-x}As$ представлен точками вдоль линии, соединяющей $GaAs$ и $AlAs$. При изменении x от 0 до 1 изображающая точка движется вдоль линии от $GaAs$ к $AlAs$. Поскольку эта линия практически вертикальна, решетка $Al_xGa_{1-x}As$ такая же, как у $GaAs$; *б* — хотя III-нитрид $In_xGa_{1-x}N$ в принципе может за счет изменения состава перекрыть весь видимый спектр, этот материал трудно выращивать, когда содержание In становится заметным. $In_xGa_{1-x}N$ главным образом используется в зеленой, синей и фиолетовой областях, тогда как $Al_xGa_{1-x}N$ и $Al_xIn_yGa_{1-x-y}N$ — в ультрафиолетовой области. Все эти соединения являются прямозонными полупроводниками

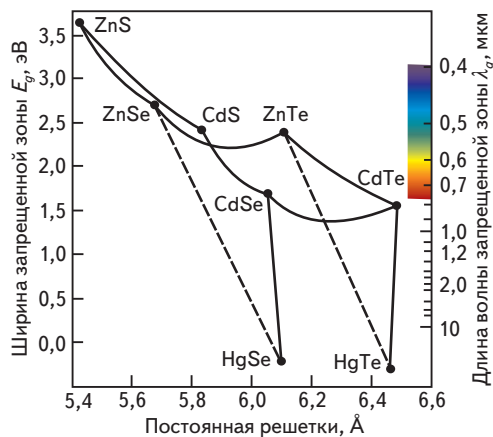


Рис. 16.8. Ширины и длины волн запрещенной зоны и постоянные решетки для различных полупроводников II–VI групп ($HgSe$ и $HgTe$ являются полуметаллами с малой отрицательной шириной запрещенной зоны). $HgTe$ и $CdTe$ имеют почти одинаковые решетки, что видно по вертикальности соединяющей их линии, поэтому трехкомпонентный полупроводник $Hg_xCd_{1-x}Te$ можно выращивать без напряжений на подложке $CdTe$. Это важный материал для приемников в средней ИК-области спектра

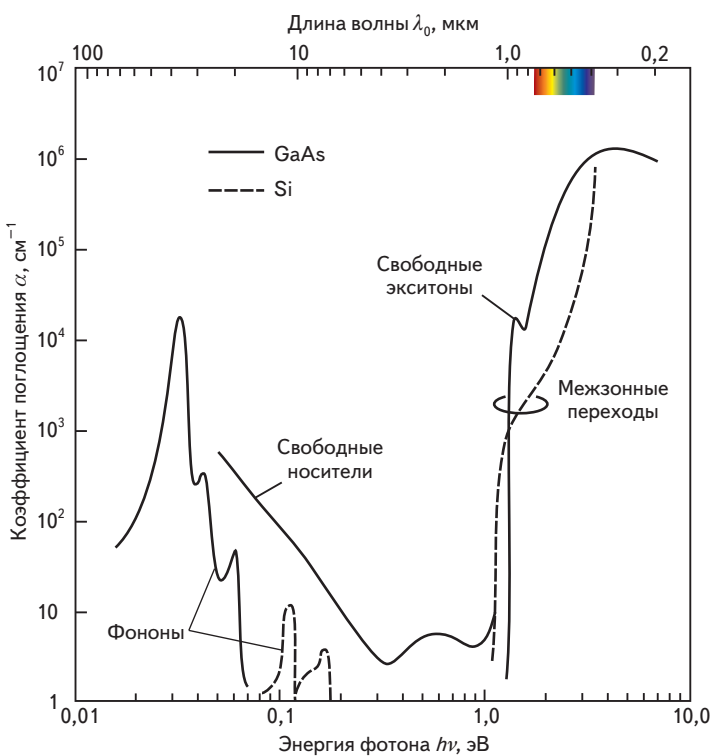


Рис. 16.31. Наблюдаемые оптические коэффициенты поглощения α в зависимости от энергии и длины волн фотона для Si и GaAs в состоянии теплового равновесия при $T = 300$ °К. Ширина запрещенной зоны E_g составляет 1,12 эВ для Si и 1,42 эВ для GaAs. Кремний сравнительно прозрачен в области λ_0 от 1,1 до 12 мкм, тогда как собственный GaAs — в области от 0,87 до 12 мкм (см. рис. 5.84)

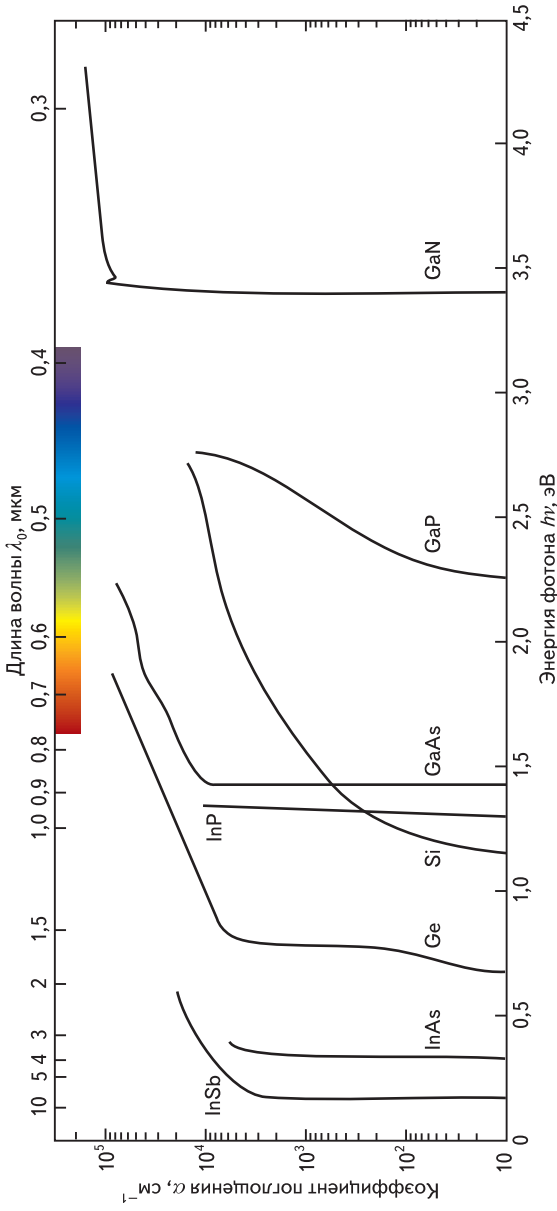


Рис. 16.32. Коэффициент поглощения в зависимости от энергии и длины волн для Ge, Si, GaAs, GaN и некоторых других двухкомпонентных полупроводников III–V групп при $T = 300$ K в увеличенном масштабе

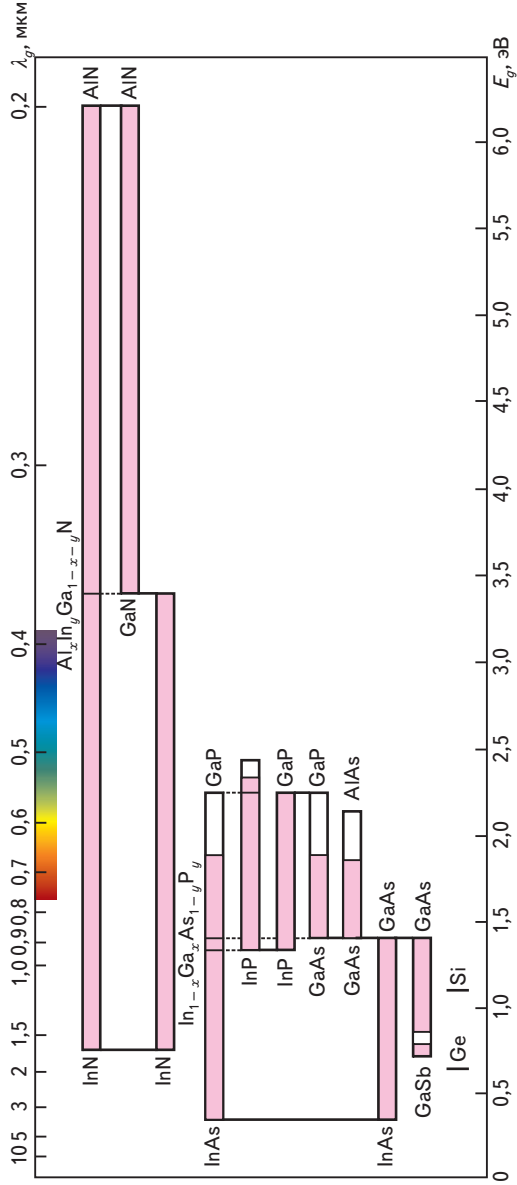


Рис. 16.33. Ширина запрещенной зоны E_g и соответствующая длина волны λ_g для некоторых однотипных полупроводников III–V групп. Начиная сверху, полосы представляют AlInGaN, AlGaN, InGaN, InGaAsP, AlInGaP, GaP, AlAs и GaAsSb. Закрашены области, в которых материалы являются прямозонными полупроводниками

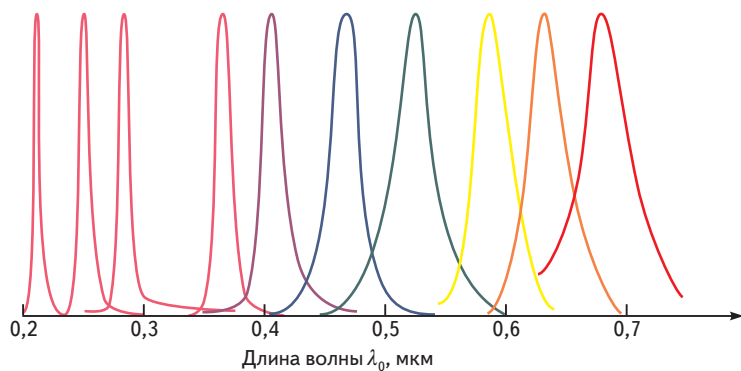


Рис. 17.15. Спектральная интенсивность как функция длины волны для СИД, работающих в ультрафиолетовом и видимом диапазоне спектра. Пиковые интенсивности сделаны равными путем нормировки. Для инфракрасных СИД результаты представлены на рис. 17.6

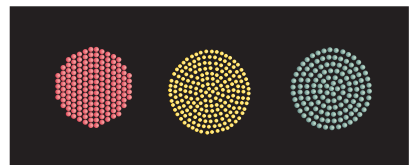


Рис. 17.17. Дорожный светофор на основе соединений III—V групп

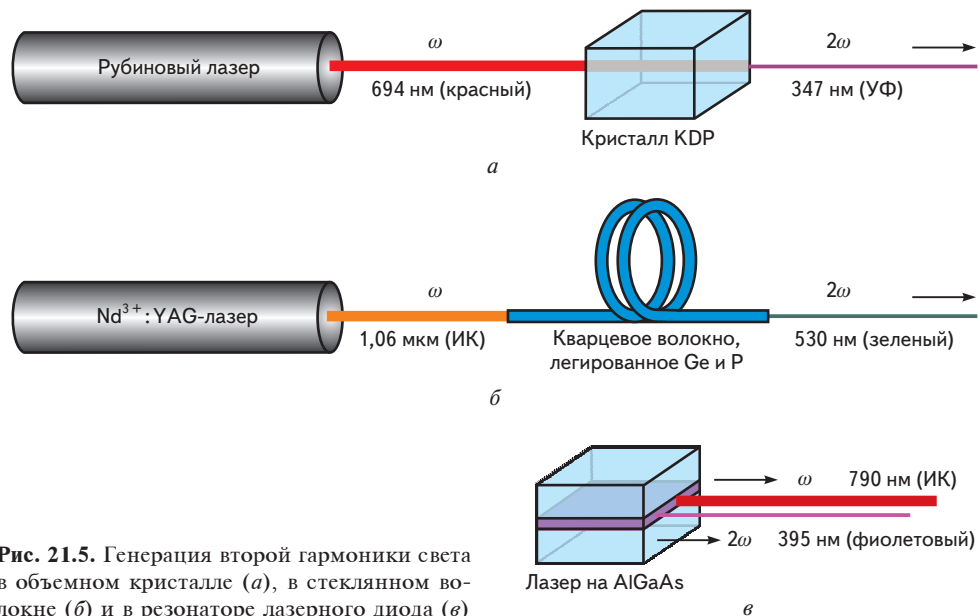


Рис. 21.5. Генерация второй гармоники света в объемном кристалле (а), в стеклянном волокне (б) и в резонаторе лазерного диода (в)

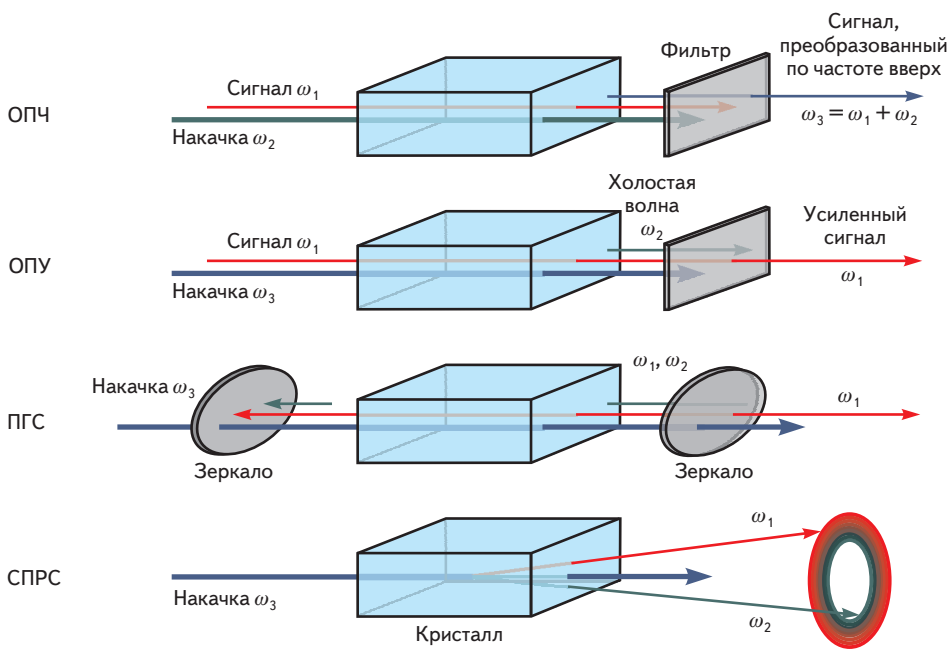


Рис. 21.10. Оптические параметрические приборы: оптический преобразователь частоты (ОПЧ), оптический параметрический усилитель (ОПУ), параметрический генератор света (ПГС) и преобразователь частоты вниз на основе спонтанного параметрического рассеяния света (СПРС)

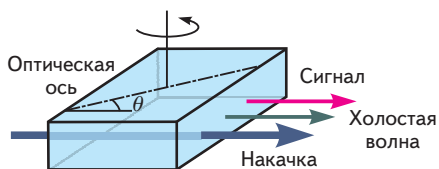
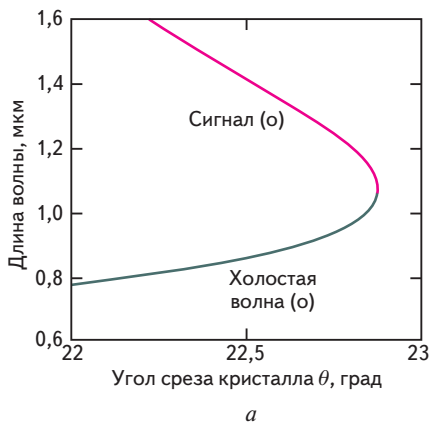
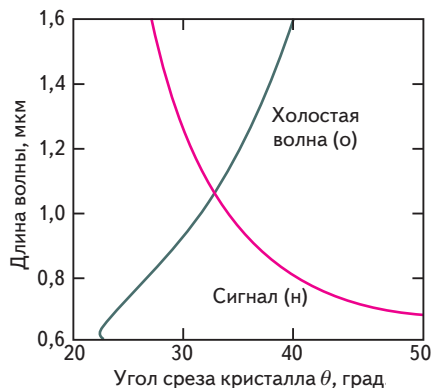


Рис. 21.13. Кривые настройки для коллинеарного ПГС на кристалле ВВО с накачкой на 532 нм, которая легко получается удвоением частоты Nd : YAG-лазера:

a — типа I; *б* — типа II



a



б

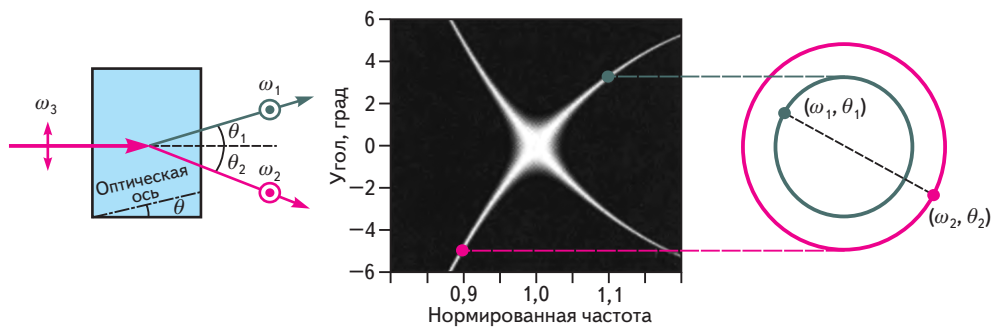


Рис. 21.15. Кривые настройки для неколлинеарного о-о-н типа I спонтанного параметрического рассеяния света с понижением частоты в кристалле ВВО под углом $33,53^\circ$ при накачке на $351,5$ нм (argonовый ионный лазер). Каждая точка светлой области на среднем рисунке соответствует частоте ω_1 и углу θ_1 для возможной волны с пониженной частотой. Каждой такой точке соответствует точка с дополнительной частотой $\omega_2 = \omega_3 - \omega_1$ и углом θ_2 . Частоты нормированы на величину $\omega_0 = \omega_3/2$. Например, две показанные точки представляют пару волн с частотами $0,9\omega_0$ и $1,1\omega_0$. Из-за осевой симметрии каждая точка на самом деле представляет кольцо точек: всем им соответствует одинаковая частота, но каждая точка на кольце согласована только с одной диаметрально противоположной точкой на соответствующем кольце, как показано на правом графике

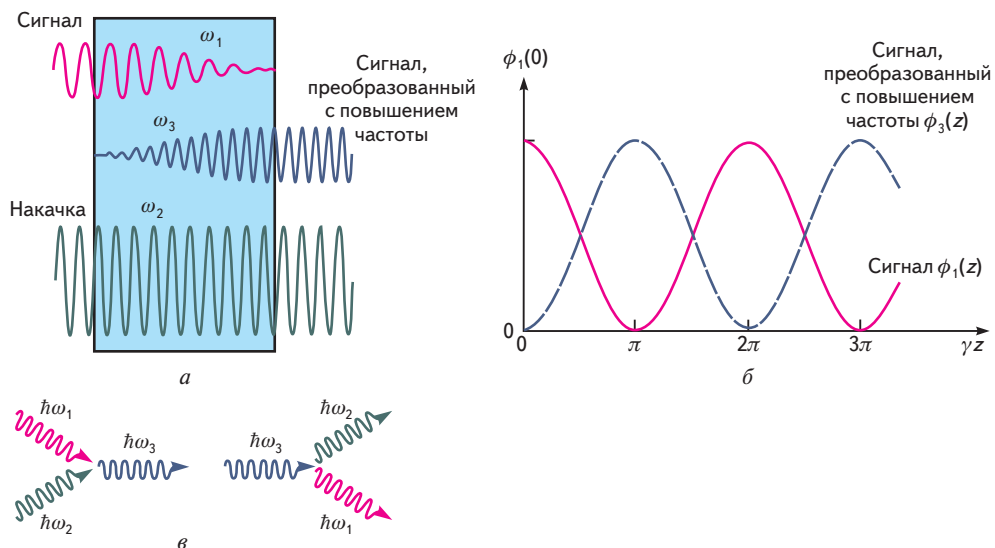


Рис. 21.32. Преобразователь частоты вверх:

а — смешение волн; *б* — эволюция плотностей потока входной ω_1 -волны и преобразованной по частоте вверх ω_3 -волны. Волна накачки ω_2 предполагается постоянной; *в* — взаимодействие фотонов

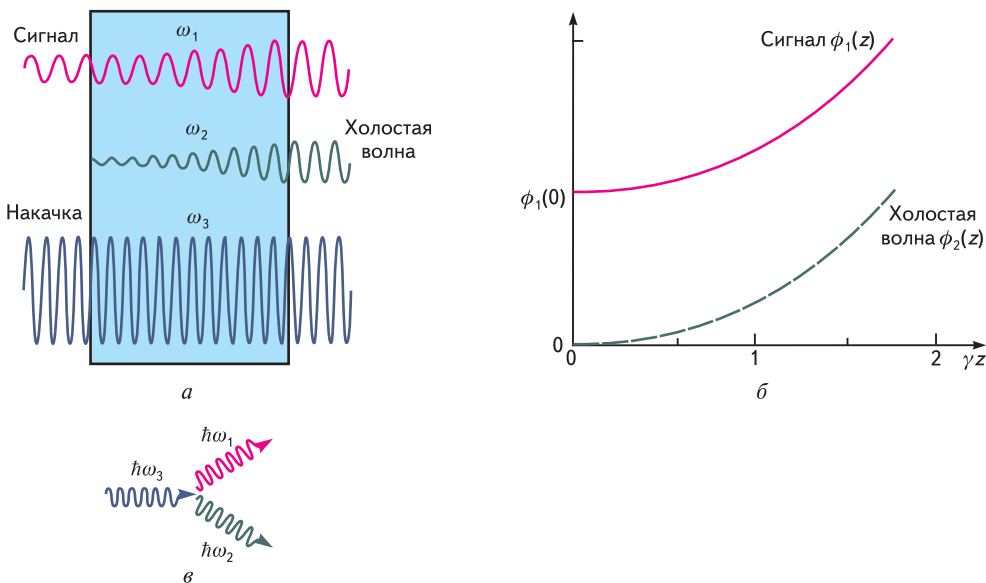


Рис. 21.33. Оптический параметрический усилитель:

а — смешение волн; *б* — плотности потока фотонов для сигнальной и холостой волн (плотность потока фотонов накачки считается постоянной); *в* — взаимодействие фотонов

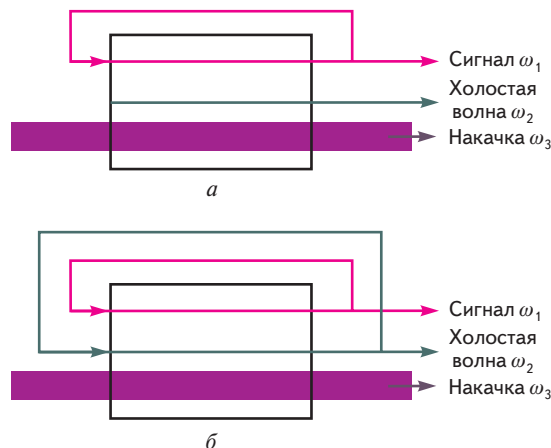


Рис. 21.34. Параметрический генератор генерирует свет на частотах ω_1 и ω_2 . Накачка с частотой $\omega_3 = \omega_1 + \omega_2$ служит источником энергии:

а — ПГС с одним резонансом; *б* — ПГС с двойным резонансом

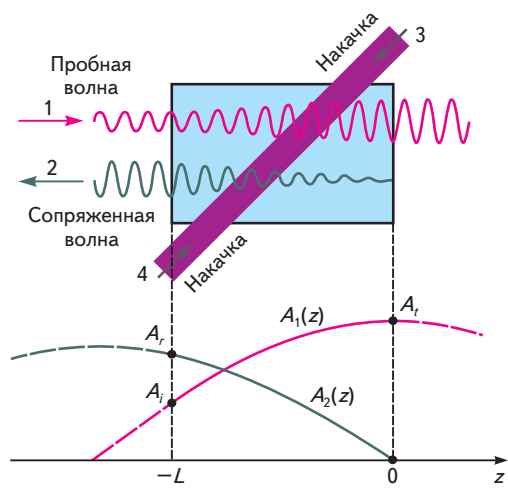


Рис. 21.35. Вырожденное четырехволновое смешение. Волны 3 и 4 — интенсивные волны накачки, распространяющиеся в противоположных направлениях. Пробная волна 1 и сопряженная волна 2 также распространяются в противоположных направлениях и имеют нарастающие амплитуды

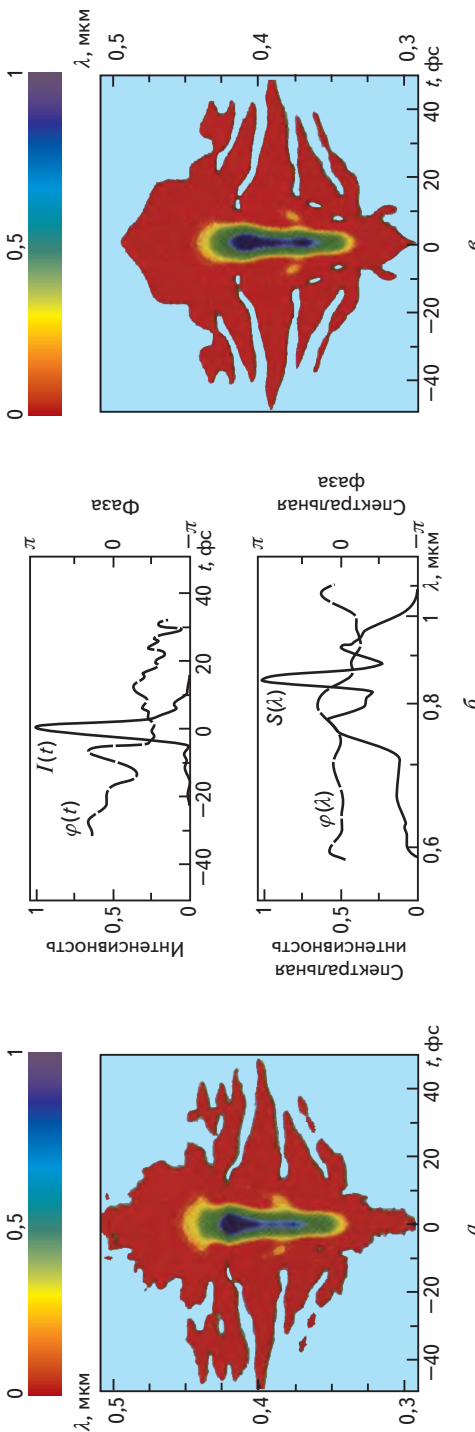


Рис. 22.63. Измеренная мистодом ГВГ-FROG спектрограмма импульса длительностью 4,5 фс, содержащего 2,5 оптических периода (*a*). Расчитанные временные и спектральные характеристики импульса (*b*). ГВГ-FROG-спектрограмма, рассчитанная для импульса (*b*), примерно совпадает с измеренной (*a*) (*a*). (Заместовано из *Baltuška A., Pshenichnikov M.S., Wiersma D.A.*. IEEE Journal of Quantum Electronics. Vol. 25. P. 459–478, рис. 17, *a, b* и 18. ©1999 IEEE; R. Trebino, ed. Frequency-Resolved Optical Gating: The Measurement of Ultrashort Laser Pulses. Kluwer, 2000, рисунок на прилагаемом CD-ROM.)



Серьезная разработка оптических межсоединений и фотонных коммутаторов началась в 1980-х гг. под руководством Лабораторий Белла, организованных в 1925 г. компанией ATT. Лаборатории Белла стали частью компании Люсент Текнолоджиз в 1996 г., а затем влились в компанию Алカテл в 2006 г.

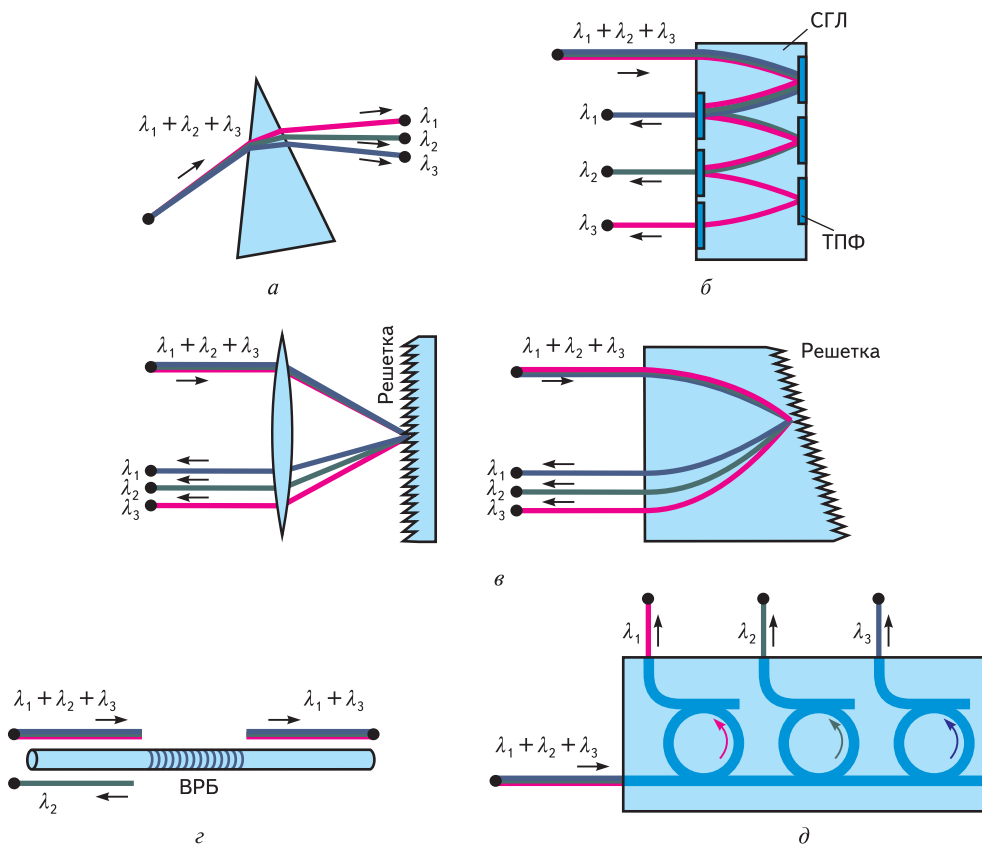


Рис. 23.18. Демультиплексоры с разделением по длине волны:

а — призма; *б* — диэлектрические интерференционные тонкопленочные фильтры (ТПФ); *в* — дифракционная решетка с обычной или стрижневой градиентной линзой (СГЛ); *г* — волоконная решетка Брэгга (ВРБ); *д* — фильтр на кольцевых микрорезонаторах

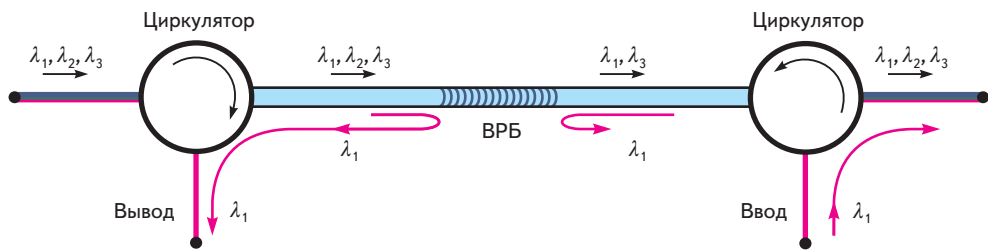


Рис. 23.19. В оптическом мультиплексоре ввода-вывода (ОМВВ) волоконная решетка Брэгга (ВРБ) отражает выводимую компоненту с длиной волны λ_1 , а циркулятор направляет ее на приемник. Другие компоненты (λ_2 и λ_3) проходят через решетку. Другой циркулятор служит для ввода света на длине волн λ_1 , промодулированного новыми данными. ВРБ отражает распространяющийся обратно свет на длине волн λ_1

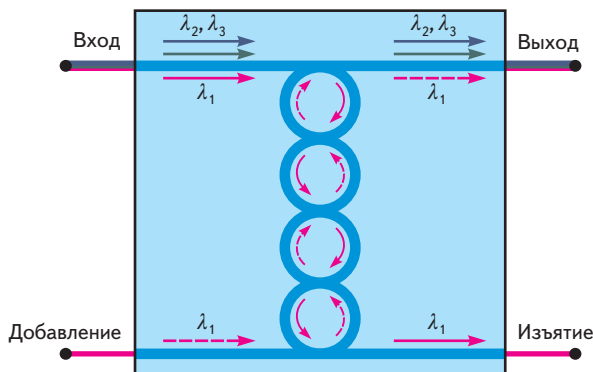


Рис. 23.20. В оптическом мультиплексоре ввода-вывода (ОМВВ) используется множество кольцевых микрорезонаторов для изъятия канала λ_1 из входящего пучка многоканальной связи и направления его на приемник. Другие компоненты (λ_2 и λ_3) пропускаются. Новые данные на λ_1 выбираются фильтром и добавляются в выходной пучок. Множество кольцевых микрорезонаторов имеют большую селективность по длине волны (т. е. более узкую спектральную ширину и больший коэффициент подавления, чем одиничный кольцевой микрорезонатор)

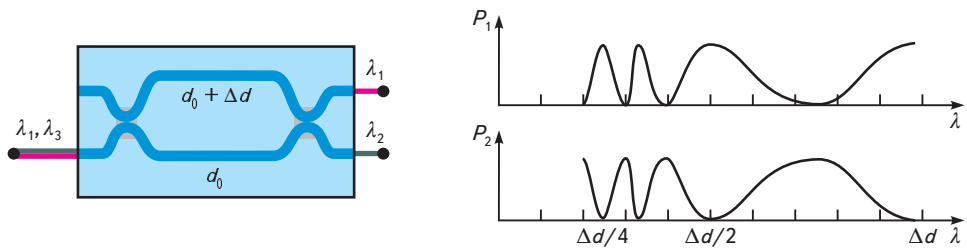


Рис. 23.21. Маршрутизация с разделением по длине волн (демультиплексирование) с использованием интегрально-оптического интерферометра Маха—Цендера

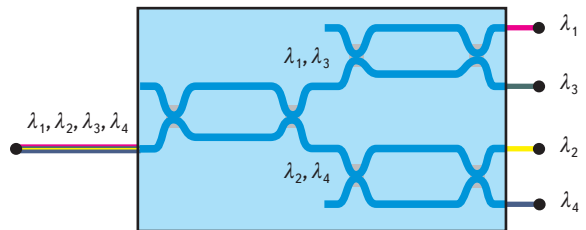


Рис. 23.22. Демультиплексирование с разделением по длине волн с использованием интегрально-оптического каскада интерферометров Маха—Цендера

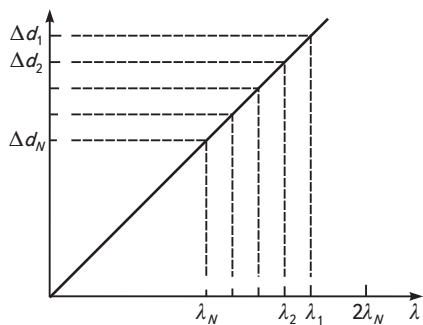
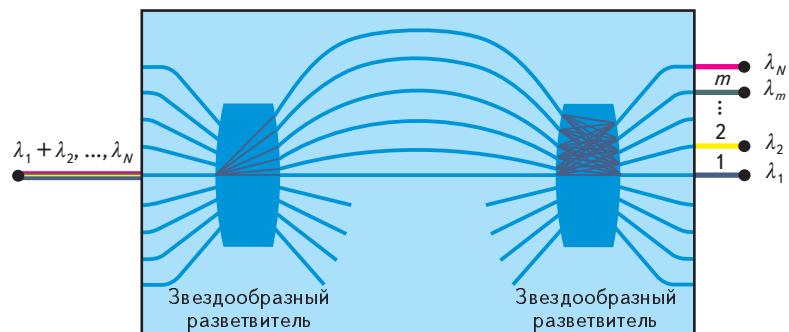


Рис. 23.24. Демультиплексирование с разделением по длине волн с помощью маршрутизатора на решетке волноводов (WGR)

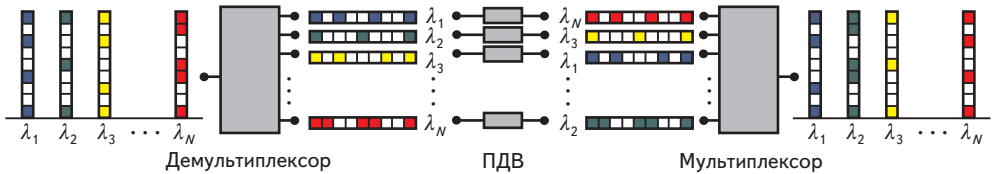


Рис. 23.52. Реализация обмена между каналами с разделением по длине волн (WCI). В данном примере данные в канале с длиной волны 2 (зеленый цвет) входящего пучка направляются в канал 3 с другой длиной волны (желтый цвет) выходящего пучка. Биты данных изображены как цветные и белые квадратики. Такой коммутатор реализуется с помощью демультиплексора с разделением по длинам волн, который разделяет каналы и направляет их на набор преобразователей длины волны. Собирающий $N \times 1$ -мультплексор обеспечивает объединение переключенных каналов в единый пучок

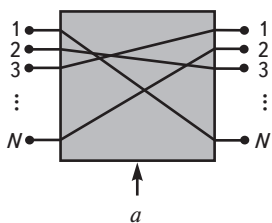
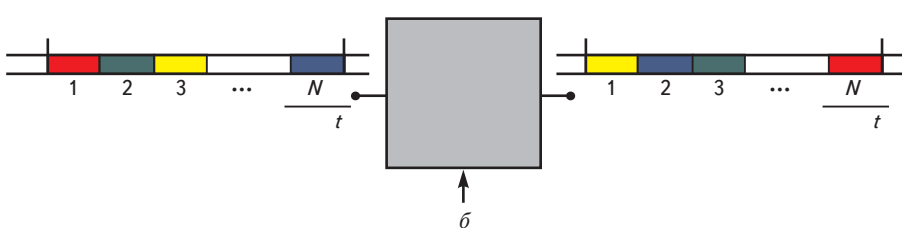


Рис. 23.55. Соответствие между временным и пространственным коммутатором:

a — пространственный коммутатор. В показанном примере данные из линии 2 направляются в линию 3; *б* — коммутатор с разделением по времени, реализующий межинтервальный обмен (TSI). В показанном примере данные из временного кванта 2 направляются во временной квант 3 в каждом кадре



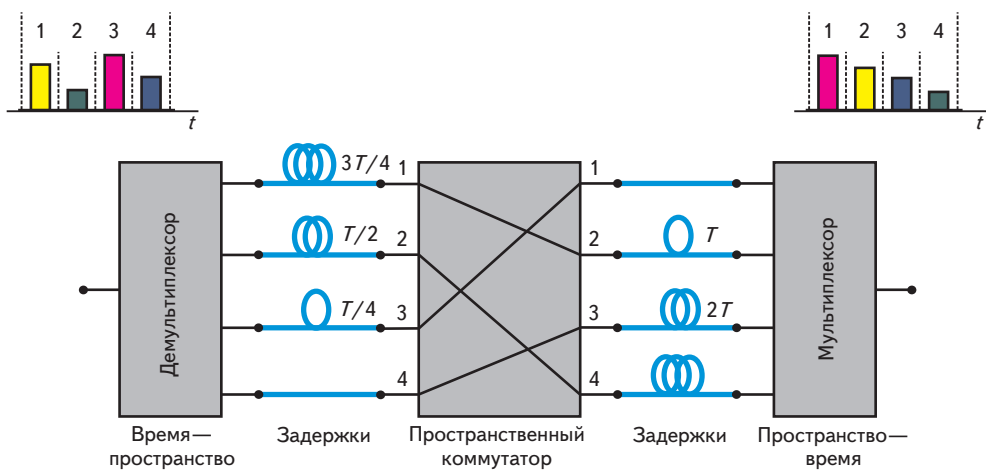


Рис. 23.59. Межинтервальный обмен (TSI)



Межконтинентальная сеть волоконно-оптической связи

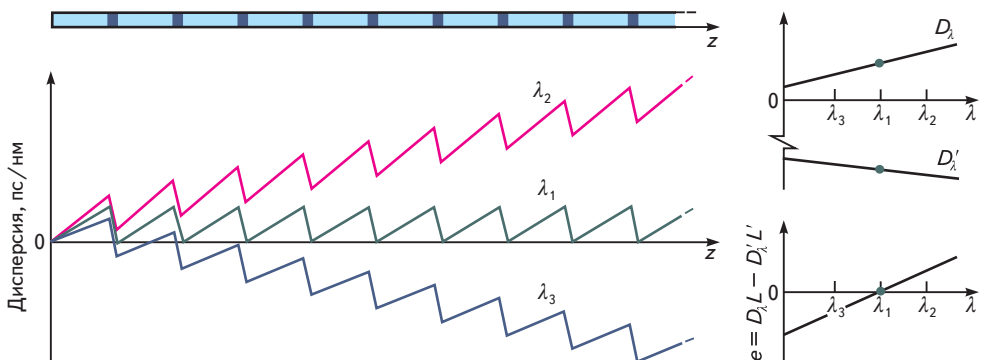


Рис. 24.23. Полная компенсация дисперсии на λ_1 и неполная компенсация с положительной и отрицательной результирующей дисперсией на λ_2 и λ_3 соответственно. Ошибка e_λ исчезает, если наклоны D_λ и D'_λ равны